

Список литературы

- [1] Ziegler J.F., Biersack J.P., Littmark U. The stopping and range of ions in solids. New York, Pergamon Press, 1985. P. 321.
- [2] Burenkov A.F. et al. // Phys. Stat. sol. (a). 1989. V. 115. P. 427-435.
- [3] LaFerla A. et. al. // Mat. Sci. and Eng. 1989. V. B2. P. 69-73.
- [4] Буренков А.Ф., Комаров Ф.Ф., Кумахов М.А., Темкин М.М. Пространственные распределения энергии, выделенной в каскаде атомных столкновений в твердых телах. М.: Энергоатомиздат, 1985. 248 с.
- [5] Буренков А.Ф., Комаров Ф.Ф., Федотов С.А. Тез. докл. XX Всес. сов. по физике взаимодействия заряженных частиц с кристаллами, М.: МГУ, 1990. 120 с.
- [6] Betz H.-D. // Rev. Mod. Phys. 1972. V. 44. P. 465-539.
- [7] Бор Н. Прохождение атомных частиц через вещество. М.: ИЛ, 1950. 149 с.
- [8] Зайков В.П., Кралькина Е.А., Николаев В.С. Формирование равновесного зарядового распределения в пучках быстрых многозарядных ионов при прохождении их через газовые и твердые мишени. М., Деп. ВИНИТИ, № 600-B87, 1987. 75 с.

Поступило в Редакцию
11 декабря 1990 г.

Письма в ЖТФ, том 17, вып. 5

12 марта 1991 г.

08; 09

© 1991

РАСПРЕДЕЛЕННОЕ ОТРАЖЕНИЕ ЭЛЕКТРОМАГНИТНОГО
ИЗЛУЧЕНИЯ ОТ БЕГУЩЕЙ АКУСТИЧЕСКОЙ РЕШЕТКИ
В ДВУХСЛОЙНОЙ СРЕДЕ

В.А. Ассман, Ф.В. Бункин,
Е.А. Виноградов, В.И. Голованов,
Г.А. Ляков, Н.В. Суязов,
К.Ф. Шипилов

Задача регистрации локальных возмущений той или иной природы через границу раздела сред с существенно различными свойствами имеет приложения от микро- (движения дефектов кристалли-

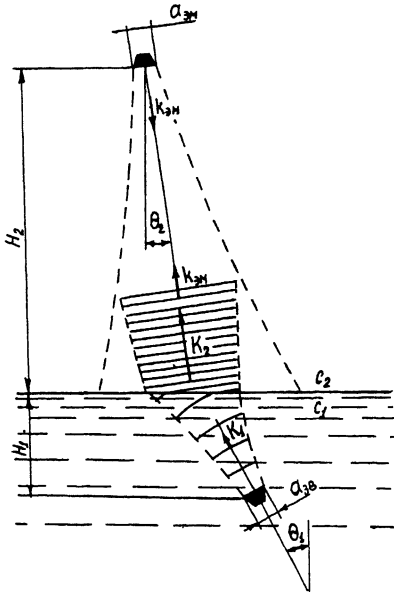


Рис. 1. Геометрия эксперимента: a_{3B} и a_{3M} – апертуры ультразвукового источника и приемно-передающей СВЧ-системы.

ческой решетки, например) до геофизических (сдвиги слоев океанского дна, подводные извержения вулканов). Решающую роль здесь играет выбор физического механизма, наиболее эффективно передающего возмущение через границу; для распространенной комбинации „плотная проводящая среда (металлы, жидкие электролиты) – разреженный диэлектрический газ (воздушная атмосфера в средних условиях)“ оптимальными носителями представляются, соответственно, звук и электромагнитное излучение. Оценке подлежит также эффективность преобразования энергии между модами разной природы при переходе границы; эта оценка определяет выбор схемы регистрации.

В исследованной нами лабораторной модели акустический сигнал от источника в воде регистрировался в воздухе с помощью электромагнитного пучка. Считывание сигнала непосредственно с колеблющейся поверхности жидкости (см., например, [1]), наталкивается на понятные трудности в натурных экспериментах, связанные в указанных примерах с нерегулярной шероховатостью кристаллического среза, волнением морской поверхности. Альтернативу со-

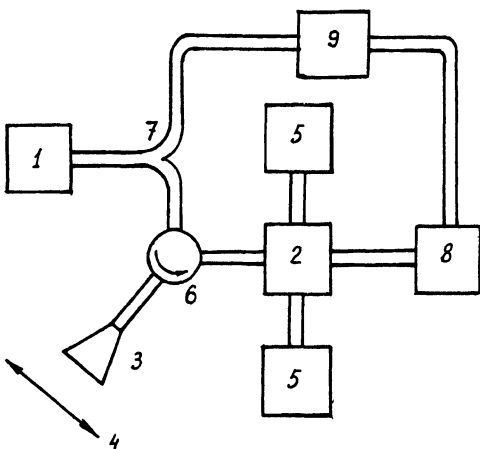


Рис. 2. Балансная СВЧ схема регистрации: 1 – генератор, 2 – двойной Т-мост, 3 – рупор, 4 – диэлектрическая линза, 5 – детекторы, 6 – циркулятор, 7 – делитель, 8 – фазовращатель, 9 – волноводная скрутка.

ставляет механизм регистрации, основанный на резонансном отражении электромагнитной волны на протяженной бегущей звуковой решетке в воздухе. Малость коэффициента передачи звука в воздух $T_0 = 5 \cdot 10^{-4}$ по давлению компенсирует здесь когерентное накопление отраженного сигнала по высоте наведенной решетки, реализующееся на длине $\sim \delta_2^{-1}$ при фазовом согласовании акустической и электромагнитной волн:

$$|\lambda_{3M} - 2c_2 f_{3B}^{-1}| \ll \lambda_{3M}^2 \cdot \max\{\delta_2(4\pi)^{-1}, (4H_2)^{-1}\}, \quad (1)$$

где λ_{3M} – длина электромагнитной волны, f_{3B} – частота звуковой волны, c_2 и δ_2 – скорость и коэффициент затухания звука в воздухе. Расчет по схеме рис. 1 (детали расчета, и учет волнения поверхности раздела приведены в [2]) отношения μ мощности радиоволны, принимаемой антенной на смещенной частоте $f_{3M} + f_{3B}$ к мощности, излучаемой на частоте f_{3M} , дает

$$\mu \approx \left[\frac{\pi(\epsilon-1) S_{3M} S_{3B} P T_0 \cos \theta_1}{2 \lambda_{3M}^3 \delta_2 H_2 (H_2 + H_1 c_1 c_2^{-1}) P_a} \right]^2. \quad (2)$$

Здесь ϵ – диэлектрическая проницаемость воздуха, P – амплитуда давления на апертуре источника, P_a – атмосферное давление, $S = \frac{\pi}{4} a^2$ – площадь апертур.

В эксперименте (детали см. в [2]) использован акустический генератор с $f_{3B} \approx 87$ кГц и СВЧ комплекс с $\lambda_{3M} \approx 8$ мм в соответствии с (1). Для акустической мощности ≈ 80 Вт и близким к оптимальным значениям $H_2 = 2.5$ м, $S_{3B} \approx S_{3M} \approx 250$ см² расчет дает $\mu \approx -90$ дБ. При этом коэффициент модуляции m – отношение принимаемых мощностей на смещенной и несмещенной (зеркальное отражение) частотах – составляет ≈ -80 дБ (в наклонной геометрии, при $\theta_1 = 50^\circ$, $\theta_2 = 10^\circ$ величина m возрастает до -40 дБ). Именно эта величина характеризует требуемую частотную селективность приемной системы. Расчет смещенной компоненты отражения от поверхности (это тоже полезный сигнал) показывает, что вклад резонансного механизма преобладает над ней как раз при $f_{3B} \approx 80-100$ кГц ($\lambda_{3M} \approx 8$ мм).

В качестве генератора ВЧ сигналов использован ГЧ-141 ($\lambda_{3M} = 5.6-8$ мм, мощность ~ 30 мВт) с набором элементов, канализирующих излучение. Рупор с сечением 4 см² формировал электромагнитный пучок с помощью диэлектрической линзы (из телефона, $F = 15$ см, $a_{3M} = 9$ см или полистирола, $F = 60$ см, $a_{3M} = 25$ см). Приемником – смесителем электромагнитного излучения служил кристаллический диод (Д404), который включен в плечо двойного Т-моста, являющегося комбинацией Е- и Н-тройников [3]. Выделение сигнала на смещенной частоте обеспечивал нановольтметр типа 237 в комплексе *UNIPAN* с селективностью на октаву (ступенями) 0–25–40 дБ.

Трехслойный ультразвуковой преобразователь ($a_{3B} = 7$ см) диапазона 80–90 кГц на пьезокерамике ЦС-19 располагался в акустически заглушенной кювете 80x50x40 см³ с водой на глубине $\gtrsim 4$ см. Он создавал поле давления до 30–50 Па прямо над поверхностью воды. При использовании в целях уменьшения расходности УЗ и СВЧ излучения тонкостенной металлической трубы диаметром 15 см и длиной 1.5 м был обнаружен резонансный сигнал (в 2–3 раза выше уровня шума), соответствующий рассеянию на УЗ пучке.

Для устранения влияния кавитации и детального исследования эффекта рассеяние на ультразвуке, генерируемом под водой, моделировалось с помощью излучателя, размещенного в воздухе (а соответствующие колебания границы раздела адекватно моделируются колебаниями поверхности излучателя). При этом использовался сконструированный мозаичный УЗ излучатель с большой апертурой $a_{3B} = 19$ см (и малой расходностью пучка), создающий поле давления ≈ 6 Па вблизи себя и ≈ 1.5 Па на расстоянии 2.5 м (у СВЧ линзы). Кроме того, для снижения уровня шумов в схему регистрации были внесены дополнительный детектор 5 (балансная схема смесителя), циркулятор 6, делитель излучения пополам 7, фазовращатель 8 и волноводная скрутка 9 (рис. 2). Была также введена модуляция УЗ волны частотой 3 Гц (от генератора Г3-118), регистрируемая синхронным детектором типа 232 В на выходе нановольтметра.

Результирующая чувствительность разработанной методики была достаточной для регистрации колебаний поверхности излучателя с амплитудой $\geq 10 \text{ \AA}$ (при времени накопления сигнала $\tau = 10 \text{ с}$)

Эффект рассеяния СВЧ излучения на ультразвуковой волне зарегистрирован при $f_{\text{зв}} = 86,9 \text{ кГц}$ и $f_{\text{эм}} = 37,47 \text{ ГГц}$. Критерий регистрации – резонансный характер эффекта и зависимость от длины взаимодействия. Частота СВЧ излучения изменялась с шагом 10 МГц, и ширина резонанса составила $\Delta f_{\text{эм}} \approx 0,05 \text{ ГГц}$, то есть $\Delta f_{\text{эм}} f_{\text{эм}}^{-1} \sim 10^{-3}$, что согласуется с оценкой (1). При перекрытии (тонким диэлектрическим экраном) ультразвукового пучка около излучателя (объемного взаимодействия нет) показания детектора уменьшались примерно вдвое; при перекрытии около СВЧ линзы (длина взаимодействия сохранялась) показания не менялись. Следовательно, резонансный эффект для $\lambda_{\text{эм}} = 8 \text{ мм}$ имеет (в согласии с расчетом) на расстоянии $2,5 \text{ м} \approx \delta_2^{-1}$ величину того же порядка, что и нерезонансный эффект от колебаний поверхности излучателя, при этом он существенно выше уровня шума ($\tau = 10 \text{ с}$).

Таким образом, использование объемного резонансного взаимодействия повышает эффективность дистанционной регистрации акустических колебаний с помощью СВЧ излучения. Связанный с резонансным эффектом выигрыш растет вместе с длиной зондирующей радиоволны, что позволяет перейти к постановке эксперимента с соответствующим увеличением масштабов (в натурных условиях).

С п и с о к л и т е р а т у р ы

- [1] Е с и п о в И.Б., Н а у г о л ь н ы х К.А. В сб.: Методы гидрофизических исследований. Горький, ИПФ АН СССР, 1984. С. 229–245.
- [2] А с с м а н В.А., Б у н к и н Ф.В., В и н о г р а -
д о в Е.А., Г о л о в а н о в В.И., Л я х о в Г.А.,
С у я з о в Н.В., Ш и п и л о в К.Ф. Препринт Института
общей физики АН СССР, 1990.
- [3] Х а р в е й А. Техника сверхвысоких частот. М.: Советское
радио, 1965.

Институт общей физики АН СССР,
Москва

Поступило в Редакцию
12 ноября 1990 г.